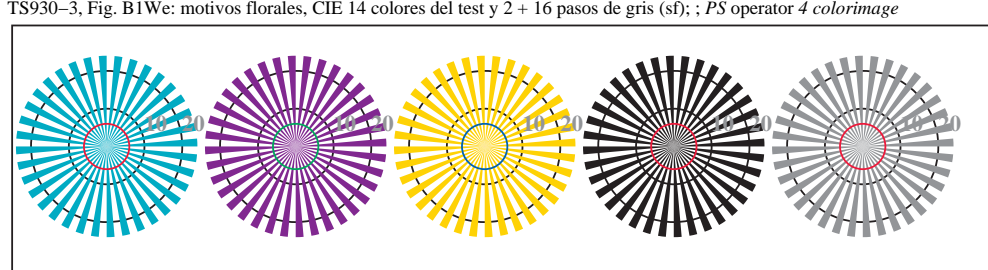




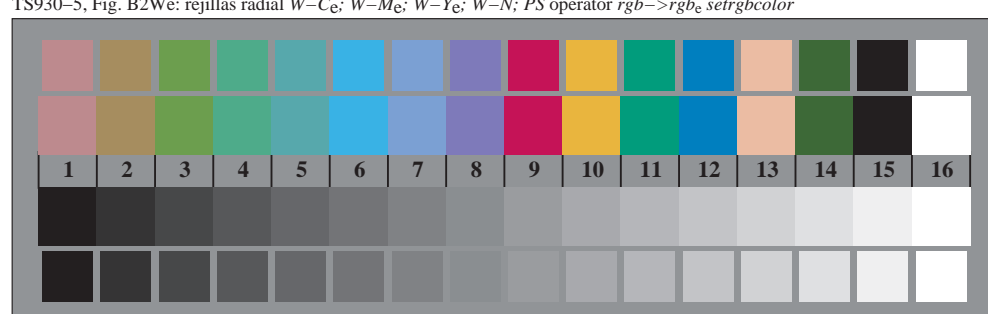
V L O Y M C
http://130.149.60.45/~farbmefrik/TS93/TS93L0NP.PDF /PS; salida de transferencia
N: ninguna 3D-linealización (OL) en archivo (F) o PS-startup (S), página 2/2



vea archivos semejantes: http://130.149.60.45/~farbmefrik/TS93/TS93L0NP.PDF /PS
información técnica: http://www.ps.bam.de o http://130.149.60.45/~farbmefrik



TS930-5, Fig. B2We: rejillas radial W-C_e; W-M_e; W-Y_e; W-N; PS operator $rgb \rightarrow rgbe$ setrgbcolor



TS930-7, Fig. B3We: CIE 14 colores del test y 2 + 16 pasos de gris (sf); $rgb/cmy0 \rightarrow rgbe$ setrgbcolor

gráfico TS93; 2(ISO/IEC 15775 + ISO/IEC TR 24705)
test cromático gráfico CMY, 3D=0, de=1, cmyk

2-013130-F0

C

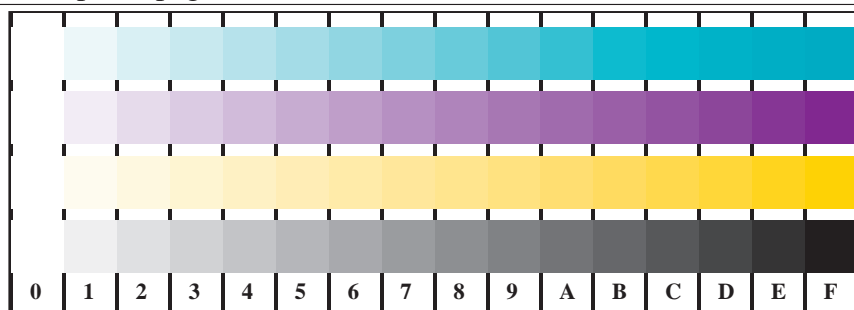
M

Y

O

L

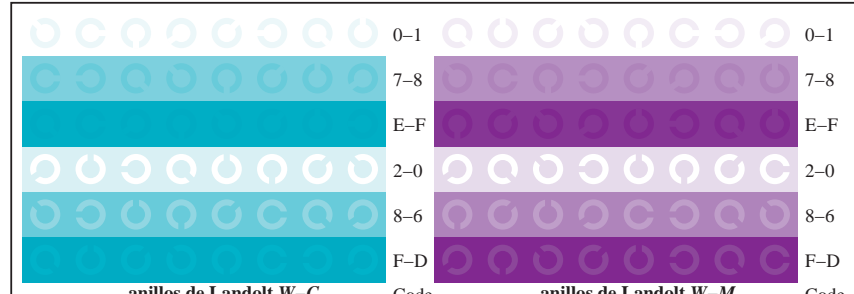
V



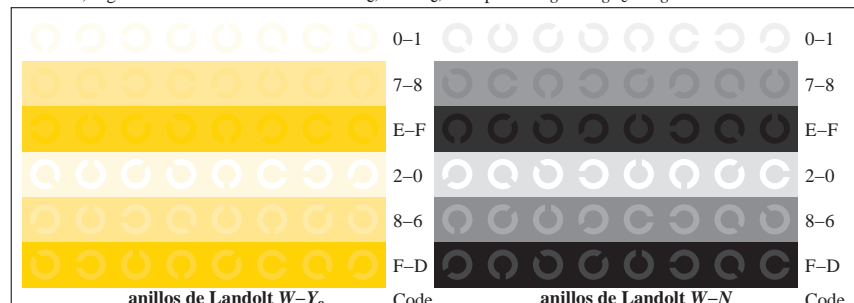
TS931-1, Fig. B4We: 16 equidistante pasos W-C_e; W-M_e; W-Y_e; W-N; $rgb/cmy0 \rightarrow rgbe$ setrgbcolor

| | | | | | | | |
|------|---|----------------|----------------|----------------|---|----------------|---|
| +-.. | Q | lmno | 0 | tuvw | 0 | tuvw | 0 |
| xyz; | Q | hijk | 1 | pqrs | 0 | pqrs | 0 |
| tuvw | Q | defg | 2 | lmno | 0 | lmno | 0 |
| pqrs | Q | !abc | 3 | hijk | 0 | hijk | 0 |
| lmno | Q | xyz; | 4 | defg | 0 | defg | 0 |
| hijk | Q | tuvw | 5 | !abc | 0 | !abc | 0 |
| defg | Q | pqrs | 6 | N | 0 | N | 0 |
| !abc | Q | lmno | 7 | C _e | 0 | C _e | 0 |
| 10 | Q | hijk | 8 | M _e | 0 | M _e | 0 |
| | | defg | 9 | Y _e | 0 | Y _e | 0 |
| | | !abc | A | Z | 0 | Z | 0 |
| | | 10 | B | | | | |
| | | N | C _e | | | | |
| | | C _e | M _e | | | | |
| | | M _e | Y _e | | | | |
| | | Y _e | Z | | | | |
| | | Z | | | | | |

TS931-3, Fig. B5We: código y Landolt anillos/N; C_e; M_e; Y_e; Z; PS operator $rgb \rightarrow rgbe$ setrgbcolor



TS931-5, Fig. B6We: anillos de Landolt W-C_e; W-M_e; PS operator $rgb \rightarrow rgbe$ setrgbcolor



TS931-7, Fig. B7We: anillos de Landolt W-Y_e; W-N; PS operator $rgb \rightarrow rgbe$ setrgbcolor



entrada: $rgb/cmyk \rightarrow rgbe$
salida: transfiera a cmyke

-8

C

M

Y

O

L

V

